



پتانسیل تاثیرگذاری فوران آتشفشن‌های بزرگ قون بیستم بر روی تغییر دمای ایستگاه‌های منتخب ایران

غلامرضا روشن^{۱*}، محمود داوودی^۲، محدثه صالحی‌زاده^۳

^۱دانشیار گروه جغرافیا- دانشگاه گلستان، گرگان، ایران

^۲دانشکده علوم انسانی، گروه جغرافیا، دانشگاه گیلان، رشت، ایران

^۳گروه جغرافیا، دانشگاه گلستان، گرگان، ایران

تاریخ دریافت: ۱۴۰۰/۸/۳؛ تاریخ پذیرش: ۱۴۰۰/۸/۲۰

چکیده

فعالیت آتشفشنی می‌تواند از طریق ایجاد اختلال در ورود تابش خورشید نوسانات آب و هوایی ایجاد کند. در این پژوهش سعی شده تا اثر فعالیت‌های آتشفشنی عمدۀ دنیا بر روی تغییرات دمایی در ایران واکوی شود. برای رسیدن به این منظور ابتدا ۱۶ ایستگاه هواشناسی دارای آمار بلند مدت در سطح ایران انتخاب و از سازمان هواشناسی کشور سری زمانی بلند مدت دما دریافت شد. در ادامه برای انتخاب آتشفشن‌های عمدۀ از شاخص DVI و شش استفاده و شش آتشفشن عمدۀ انتخاب شدند. برای بررسی تاثیر فعالیت‌های آتشفشنی عمدۀ بر روی دمای در ایران از تکیک‌های SEA و رگرسیون خطی چندگانه بهره برده شد. نتایج نشان داد که بعد از فوران‌های آتشفشنی عمدۀ می‌توان اثرات کاهشی دما را با تاخیر زمانی صفر، یک و دو ساله مشاهده کرد و بیشترین شدت کاهش دما در سال اول بعد از وقوع آتشفشن مشاهده شد. مقایسه سه متغیر دمای میانگین، دمای میانگین حداقل و دمای میانگین حداکثر نشان داد که فعالیت‌های آتشفشنی تاثیر کاهشی را بر روی دمای میانگین حداکثر دارند. نتیجه بررسی برای تفکیک فصول نیز مشخص کرد که در زمستان شدت اثرگذاری کاهشی بیشتری رخ می‌دهد ولی در تابستان اثر کاهشی آتشفشن‌ها مدت زمان بیشتری دوام دارد. در نهایت یافته‌های این تحقیق نشان می‌دهد که به طور میانگین در سال وقوع فوران آتشفشن‌های عمدۀ کاهش ۶۷,۰- درجه سانتی‌گرادی، در سال اول بعد از فوران آتشفشن‌ها میزان کاهش ۱- درجه سلسیوس و در تاخیر زمانی دو ساله میانگین کاهش دما ۴۷,۰- درجه سلسیوس مشاهده شده است. از این رو می‌توان تایید کرد که فوران آتشفشن‌های عمدۀ بر روی دمای ایران تاثیر گذار بوده و باعث کاهش دما در ایران شده‌اند.

واژه‌های کلیدی: تغییر دما، شاخص DVI، رگرسیون خطی، ایران.

رسد که در فعالیت‌های آتشفشنی اکونگ (در سال ۱۹۶۳)، ایچیچون (۱۹۸۲) دیده شده است. بقای ذرات در قسمت‌های مختلف جو بر حسب قطر آنها متفاوت است. از سوی دیگر ماندگاری ذرات استراتسفر با توجه به قطر آنها از یک سال برای ذراتی به قطر ۱-۵ میکرومتر و تا ۱۲ سال برای ذراتی به قطر ۱-۵، میکرومتر تغییر می‌کند. کما اینکه غبار حاصل از آتشفشن کراکاتوا به مدت ۱ تا ۲ سال در جو باقی مانده و ۱۰ تا ۲۰ درصد از ثابت خورشیدی را کاهش داد. بر اساس مطالعه شواهد موجود در مغزه‌های یخی،

مقدمه

آتشفشن‌ها از طریق تاثیر بر شفافیت اتمسفر، بیلان انرژی سیاره‌ای و به تبع آن دما را دستخوش تغییر می‌سازند. میزان تاثیر ذرات بر دما و بیلان انرژی به کمیت، قطر و ماندگاری ذرات وابسته است. بیشتر مواد آتشفشنی به ۵ الی ۸ کیلومتری سطح زمین تزریق می‌شود. البته بسته به شدت فعالیت، ارتفاع پرتتاب حداکثر تا ۱۵ الی ۲۵ کیلومتری نیز می-

مطالعات درباره تاثیر فوران‌های آتشفسانی بر آب و هوا تا حدودی با دشواری همراه می‌باشد زیرا این که تعیین کردن داده‌های اقلیمی تاریخی و یا اینکه کدام یک از فوران‌ها تاثیر جهانی را داشته‌اند سخت به نظر می‌رسد. آتشفسان‌هایی که فوران آنها باعث ایجاد ستون‌های انفجاری می‌شود که می‌توانند تا عمق تر و پوپوز (۹ تا ۱۷ کیلومتری) نفوذ کرده و منجر به کاهش دمای شدید و تغییرپذیری در کاهش عبور اثری خورشید به داخل اتمسفر شوند تحت عنوان آتشفسان‌های ≥ 5 (VEI) طبقه‌بندی . بهر حال همزمانی رخداد این آتشفسان‌ها با وسایل مدرن جهت اندازه‌گیری دما همپوشانی ندارد. بطوری که از سال ۱۹۰۱ تا ۲۰۱۲ می‌توان به ۱۰ آتشفسان با بزرگی ≥ 5 (VEI) اشاره نمود (نیوهال و سلف، ۱۹۸۲). بنابراین محققان از ابزار مختلفی مثل مطالعه حلقه‌های درختی و یا استناد و شواهد تاریخی به بررسی و مدل سازی اثرات کاهش دمای این فوران‌ها پرداخته‌اند. در عین حال اثر خنک کنندگی بعد از فوران آتشفسان‌ها بر روی دمای سطح زمین توسط محققین مختلفی مورد ارزیابی و مطالعه قرار گرفته شده است (کول‌دای، ۲۰۱۰؛ کلوز و همکاران، ۲۰۱۵؛ سانچز و همکاران، ۲۰۱۸). در مطالعات نیمکره‌ای مشخص شده که کاهش دما بعد از فوران‌ها بین ۰ تا -0.4 کاهش داشته است که غالباً این برآوردها بر مبنای حلقه‌های درختی بوده است (لوف و فریتس، ۱۹۸۷، سانچز و همکاران، ۲۰۲۰؛ آلتمن و همکاران، ۲۰۲۱). از طرف دیگر بر مبنای کارهای انجام شده مشخص می‌شود که سیگنال‌های کاهش دما برای تابستان‌ها از شدت بیشتری برخوردار می‌باشد و این قدرت خنک کنندگی فوران‌ها برای نواحی شمال اروپا قوی تر از نواحی عرض‌های پایین تر می‌باشد (فیشر و همکاران ۲۰۰۷، هگرل و همکاران ۲۰۱۱). به عنوان نمونه در مطالعه ای، ایسپر و همکاران (۲۰۱۳) به بررسی پاسخ دمای تابستان اروپا به فوران‌های آتشفسانی سالانه در طول نه قرن گذشته پرداختند. آنها در مطالعه خود به این نتیجه رسیدند که بیشینه اثر خنک کنندگی بعد از فوران‌های آتشفسانی برای ماههای ژوئن تا آگوست، با

طی ۱۶ الی ۲۰ هزار سال پیش یعنی هم زمان با دوره‌های اوج آخرین یخ‌بندان‌های وورم، فعالیت‌های آتشفسانی بسیار زیاد و شدید بود. اما در دوران معاصر هم کمیت و هم شدت آتشفسان‌ها رو به کاهش نهاده است (رابک، ۲۰۰۰، من و همکاران، ۲۰۱۴، سیگل و همکاران، ۲۰۱۵).

اگر جذب هواویزهای حاصل از فعالیت آتشفسانی در طیف مرئی باشد، انرژی مستقیماً به جو باز می‌گردد و اگر جذب و گسیل در طیف مادون قرمز باشد اثر گلخانه ای افزایش می‌یابد. معمولاً غبارهای آتشفسانی به دلیل داشتن اندازه‌های کوچک، امواج خورشید را منعکس نموده و امواج با طول موج بلند (امواج گرمایی زمین) بدون هیچ مانعی از آنها عبور می‌کند. بدین ترتیب گرد و غبارهای آتشفسانی سبب کاهش درجه حرارت زمین خواهد شد. برای مثال فعالیت آتشفسان کراکاتوآ با توده‌ی ۲۷ کیلومتری خاکستر پرتاب شده آن قدر زیاد بود که باعث شد دمای متوسط جهانی در سال ۱۸۸۳ تا ۱۸۸۴ درجه سانتیگراد کاهش یابد (مادن‌نادو و همکاران ۲۰۲۱). عموماً آتشفسان‌ها اقلیم را در مقیاس‌های زمانی کوتاه (حداکثر یک دهه) تحت تاثیر قرار می‌دهند. مثلاً سرمایش سال‌های ۱۸۸۰ تا ۱۹۲۰ و دهه ۱۹۴۰ به فوران‌های آتشفسانی عمدۀ در این دوران‌ها نسبت داده می‌شود (برادلی و جونز، ۱۹۹۲؛ گیل گیرادو، ۲۰۲۰). برای مثال آتشفسان آگونگ منجر به ۲۰ درصد افت تابش خورشید در استرالیا شد (هانسن و همکاران، ۱۹۷۸؛ سلف و کینگ، ۱۹۹۶؛ سف و رامپینو، ۲۰۱۲). بسته به مدت بقای ذرات در جو میزان تاثیر بر میانگین دمای جهانی از چند دهم درجه سلسیوس (۰.۳-۰.۴ درجه سلسیوس) تا تشکیل دوره‌های کوچک یخچالی متفاوت است (تاو و همکاران، ۲۰۲۰)، بر اساس مشاهدات و برآوردهای حاصل از اطلاعات ماهواره ای به دلیل فعالیت‌های آتشفسانی اخیر ایچیچون و پیناتوبو میزان انرژی خورشیدی رسیده به زمین حدود ۳ وات بر متر مربع کاهش داشته است (عزیزی، ۱۳۸۳).

گرینلنند گسترش می‌یابد (درو و همکاران، ۲۰۰۴). از جمله مطالعات دیگر می‌توان به کار رائو و همکاران (۲۰۱۷) در خصوص اثرگذاری فوران‌های آتشفشانی بر ساختار هیدرولیکی اروپا و مدیترانه برای نیم میلیون سال اخیر اشاره کرد. نتایج این تحقیق نشان داد که در غرب مدیترانه، شرایط مرطوب اقلیمی در همزمان و تا ۳ سال بعد فوران آتشفشان تجربه شده است. بر عکس، برای شمال غرب اروپا و جزایر انگلیس در پاسخ به فوران‌های آتشفشانی، کمینه مقدار رطوبت و بعبارتی دوره‌های خشکی را در ۲ و ۳ سال پس از فوران‌ها تجربه می‌کنند. بگونه‌ای که این فرایند شبیه فاز منفی الگوی آتلانتیک شرقی می‌باشد. بنابراین بوضوح مشخص گردید که اثر فوران‌های آتشفشانی حاره‌ای، منجر به شکل گیری واکنش‌های متنوعی در سامانه اقلیمی برای اروپا و مدیترانه بوده است. به حال شاید کاهش بارش جهانی با توجه به افزایش فعالیت‌های آتشفشانی صورت گیرد. زیرا این فعالیت‌ها منجر به تراکم آئروسل‌ها در جو، کاهش رودی نور خورشید و کاهش سطح تبخیر می‌شود. بگونه‌ای که این عوامل می‌توانند شرایط خنک و باثبات تری را بدنبال داشته باشد (ایلز و هگرل، ۲۰۱۴).

براساس تحقیقات سیبریت و همکاران (۲۰۱۵) این نتایج استحصال گردید که هواویزهای آتشفشانی که توسط فوران‌های انفحاری به استراتوسفر تھتانی تزریق می‌شوند آشفتگی قابل توجهی را در تعادل تابشی به وجود می‌آورند که باعث گرم و سرد شدن استراتوسفر در همان زمان می‌شود. پراکنده‌گی بسیار شدید تشعушات خورشیدی واردہ باعث خنک کردن سالانه جهانی در سطح زمین می‌شود که به طور معمول دو الی سه سال به طول می‌انجامد (رابوک و همکاران، ۱۹۹۵؛ مان و همکاران، ۱۹۹۸؛ کرولی و همکاران، ۱۹۹۹؛ هگرل و همکاران، ۲۰۰۳). فوران‌های آتشفشانی بزرگ می‌توانند دی‌اکسید گوگرد را به داخل لایه استراتوسفر تزریق کند جایی که به سولفوریک اسید هواویز تبدیل می‌شود. این هواویزهای می‌توانند در لایه استراتوسفر برای چندین سال باقی بماند که تشعشعات خورشیدی را جذب و منعکس می‌کنند، با این وجود هواویزهای دمای سطح

مقدار $0.52 \pm 0.05^\circ\text{C}$ برای نواحی شمال اروپا و با تاخیر زمانی دو سال بعد از فوران رخ داده است. حال آنکه برای نواحی مرکزی اروپا اثر خنک کنندگی آتشفشان‌ها بسیار کمتر و در حدود $0.18 \pm 0.07^\circ\text{C}$ است که بعد از یک سال از فوران رخ می‌دهد. از سوی دیگر نتایج این کار این محققان نشان می‌دهد که اثر خنک کنندگی آتشفشان‌ها بعد از دو سال قابل مشاهده نمی‌باشد. از طرف دیگر آنها اعتقاد دارند که با توجه به نتایج کارشناسی، اثر سازوکاری آتشفشان‌ها بر تغییر سیستم آب و هوا و در نهایت رخنمون یک دوره طولانی مدت از خنک شدن آب و هوا زیر سوال می‌رود. کارهای پیشین دیگری تغییرات دما را با استفاده از مدل‌های CGCMs مورد بررسی قرار داده اند که بر مبنای یافته‌های آنها مشخص گردید که ابرهای استحصال شده در استراتوسفر بواسطه فوران‌های بزرگ، عامل اساسی و مهمی در رخداد عصر یخبندان کوچک برای قرن هفدهم تا اوایل قرن نوزدهم بوده است (کرولی، ۲۰۰۰؛ هگرل و همکاران، ۲۰۱۱). در مطالعه‌ای شناسایی اثرگذاری ۱۵ فوران آتشفشانی بر زمستان و تابستان نیمکره شمالی برای نیم میلیون سال اخیر انجام گرفته شد. نتایج این تحقیق نشان داد که اثرگذاری این آتشفشان‌ها منجر به خنک شدن و خشک تر شدن اروپای مرکزی شده است. از طرف دیگر اندرکنش این فوران‌ها موجب تغییرپذیری در سامانه اقلیمی و شکل گیری یک فاز مثبت NAO با شرایط گرم و مرطوب تر برای سرتاسر اروپای شمالی شده است (فیشر و همکاران، ۲۰۰۷). در پژوهشی دیگر، اثر دینامیکی اقلیمی زمستان به فوران‌های بزرگ آتشفشان‌های حاره‌ای از سال ۱۶۰۰ میلادی بر تغییرپذیری دمای کره زمین مورد ارزیابی قرار گرفته شد. نتایج این تحقیق نشان داد که اثر این آتشفشان‌ها منجر به شکل گیری ناهنجاری‌های گرم در سراسر شمال اوراسیا شده، در حالی که ناهنجاری‌های خنک در شمال آفریقا و خاورمیانه تا محدوده سرزمین چین گسترش یافته است. همچنین در آمریکای شمالی، قسمت شمالی این قاره سرد می‌شود و ناهنجاری‌ها از دریای لابرادور و جنوب

به هر حال همانطور که در ادبیات تحقیق ملاحظه گردید، اثرگذاری زمانی-مکانی آتشفسان‌ها بر تغییرات دمای نقاط مختلف کره زمین متفاوت می‌باشد. به رغم فعالیت‌های مهم از تاثیر فوران‌های آتشفسانی عظیم در جهان تا مقیاس اقلیم منطقه‌ای، هنوز مطالعه شایان توجهی برای ایران انجام نشده است. لذا این ضرورت ایجاد گردید تا پژوهشی در خصوص اثرگذاری فعالیت‌های آتشفسانی بر تغییرات دمای ایران برای چند دهه‌ی اخیر انجام گیرد.

مواد و روش‌ها

ایران در منطقه خاورمیانه واقع و بین عرض جغرافیایی ۲۵ تا ۴۰ درجه شمالي و طول جغرافیایي ۴۴ تا $63\frac{3}{5}$ درجه شرقی قرار دارد. مساحت کشور حدود $1/64$ میلیون کیلومترمربع و شامل ۳۱ استان می‌باشد. موقعیت جغرافیایی، دوری از آب‌های آزاد و تسلط سامانه پرشار جنب حراره در بسیاری از موقع سال، موجب شده تا آب و هوای ایران خشک باشد؛ اما به دلیل وسعت زیاد، وجود عوارض مختلف مانند کوهستان‌های بلند در شمال و غرب، مجاورت با دریای خزر و خلیج فارس و اقیانوس هند باعث تنوع‌های اقلیمی متنوعی در ایران شده است. از طرف دیگر نوسانات اقلیمی زیادی برای پهنه‌های مختلف کشور وجود دارد که این می‌تواند متاثر از اندرکنش ساز و کارهای مختلفی منجمله فعالیتهای آتشفسانی باشد. لذا در مطالعه حاضر دگرگونی و نوسانات دمایی ایستگاه‌های منتخب (جدول ۱) بعد از فوران‌های بزرگ آتشفسانی بررسی شده است. لازم به توضیح است که دوره آماری سالهای ۱۹۵۱ تا ۲۰۱۹ می‌باشد و متغیرهای مورد مطالعه شامل نه مورد به ترتیب زیر هستند: میانگین دمای سالانه، میانگین دمای حداکثر سالانه، میانگین دمای حداقل سالانه؛ میانگین دمای تابستان، میانگین دمای حداکثر تابستان، میانگین دمای حداقل زمستان، میانگین دمای حداکثر زمستان.

کره زمین را خنک و لایه استراتوسفر زمین را گرم نگه می‌دارند (رابوک، ۲۰۰۰). یافته‌های علمی نشان می‌دهند که فوران‌های عظیمی که در مناطق استوایی و عرض‌های بالای جغرافیایی رخ داده‌اند می‌تواند محرك اصلی تغییرات دمایی بین چندین دهه و حتی سالانه در نیم‌کره شمالی برای ۲۵۰۰ سال گذشته باشند. بهطورکلی خنک سازی مناسب با شدت نیروی آتشفسانی می‌تواند پس از انفجارهای عظیم دمای کره زمین را تا ده سال تحت تاثیر قرار دهد (اسجولته و همکاران، ۲۰۲۱). بیش از دویست سال پیش بنیامین فرانکین استدلال کرد که مواد ناشی از فوران یک آتشفسان عظیم در ایسلند توانسته است، تابش خورشیدی را به فضا منعکس کند و سبب سرمای غیر عادی زمستان ۱۷۸۴-۱۷۸۳ شود. شاید قابل توجه ترین دوره سرد مرتبط با آتشفسان «سال بدون تابستان» باشد که بعد از فوران ۱۸۱۵ کوه کامپورا در اندونزی رخ داد. نمونه خفیف تر آن نیز در آتشفسان ۱۸۸۳ کوه کراکاتوا اندونزی قابل مشاهده است (عزیزی، ۱۳۸۳). در مطالعه‌ای فخرالدینی و همکاران در سال ۱۳۹۱ به بررسی تاثیر آتشفسان بیدخوان بر شرایط آب و هوایی نواحی پیرامون پرداختند. نتایج آنها در این مطالعه نشان داد که آتشفسان بیدخوان موجب ایجاد هوای سردتر و مرطوب تر شده است و ارتفاعات ناشی از فعالیت آتشفسان حدود ۱۳ میلیون مترمکعب در سال به بارندگی منطقه افزوده است و دما حدود ۴ درجه سانتی گراد کاهش داشته است. بعلاوه این آتشفسان موجب تأثیر بر سایر پارامترهای آب و هوایی از جمله تغییر در جهت و سرعت باد، افزایش رطوبت نسبی و تعداد روزهای یخ‌بندان و افزایش ریزش جوی از نوع برف شده است و به صورت غیر مستقیم باعث افزایش میزان فرسایش، افزایش پوشش گیاهی، تکوین یافتنگی خاک، ایجاد رودخانه فصلی و استقرار سکونتگاه‌ها در کنار رودخانه شده است (فخرالدینی و همکاران، ۱۳۹۱). پیشرفت دانش علمی در زمینه انفجارهای آتشفسانی و تاثیر آنها بر آب و هوا به منظور آزمایش و بهبود الگوهای پیشگویی اقلیمی از اهمیت زیادی برخوردار می‌باشد.

جدول ۱- مشخصات ایستگاه‌های مورد مطالعه

ردیف	ایستگاه	ارتفاع به متر	عرض جغرافیایی	طول جغرافیایی	ردیف	ایستگاه	ارتفاع به متر	عرض جغرافیایی	طول جغرافیایی
۱	تبریز	۱۳۶۱	۳۸,۰۵	۴۶,۱۷	۹	بوشهر	۹	۲۸,۵۹	۵۰,۵۰
۲	همدان	۱۶۷۹	۳۵,۱۲	۴۸,۴۳	۱۰	بند عباس	۱۰	۲۷,۱۳	۵۶,۲۲
۳	کرمانشاه	۱۳۱۸	۳۴,۲۱	۴۷,۰۹	۱۱	راهنما	۱۳۷۰	۲۹,۲۸	۶۰,۵۳
۴	خرم آباد	۱۱۴۷	۳۳,۲۶	۴۸,۱۷	۱۲	سبزوار	۹۷۷	۳۶,۱۲	۵۷,۴۳
۵	اصفهان	۱۵۵۰	۳۲,۳۷	۵۱,۴۰	۱۳	مشهد	۹۹۹	۳۶,۱۶	۵۹,۳۸
۶	یزد	۱۲۳۷	۳۱,۵۴	۵۴,۱۷	۱۴	گرگان	۰	۳۶,۵۱	۵۴,۱۶
۷	اهواز	۲۲	۳۱,۲۰	۴۸,۴۰	۱۵	بابلسر	-۲۱	۳۶,۴۳	۵۲,۳۹
۸	شیراز	۱۴۸۴	۲۹,۳۲	۵۲,۳۶	۱۶	بند انزلی	-۲۴	۳۷,۲۸	۴۹,۲۸

داخل استراتوسفر می‌شود. در صورتی که ذرات بسیار زیاد سولفات وارد استراتوسفر شود می‌تواند منجر به تغییر اقلیم شود؛ بدین صورت که ابرهای حاصل از آن برای چندین سال دوام آورده و باعث بازگشت نور خورشید و سرمایش سطح زمین می‌شود (روبوک، ۲۰۱۵).

در مطالعات مربوطه معمولاً آتشفشن‌هایی که شاخص VEI بزرگ‌تر مساوی ۴ و شاخص DVI بیشتر از ۱۰۰ داشته باشند به عنوان آتشفشن‌های عمده انتخاب می‌شوند (فیشر و همکاران، ۲۰۰۷، گاگنی و همکاران، ۲۰۱۷). انتشار جهانی ذرات خارج شده از آتشفشن به عواملی همچون ارتفاع، عرض جغرافیایی و فصل وقوع آتشفشن بستگی دارد (نیمایر و تیمرک، ۲۰۱۵). طور خاص آتشفشن‌های حاره‌ای میل به انتشار سریع در دو نیمکره دارند در حالی که آتشفشن‌های عرض‌های بالا میل به باقی ماندن در نیمکره‌ای دارند که در آن آتشفشن به وقوع پیوسته است (اومن و همکاران، ۲۰۰۵). از این رو برای انتخاب آتشفشن‌ها در راستای مطالعه تاثیر آنها بر روی دما در ایران از دو شرط استفاده شد: اولین شرط اینکه آتشفشن‌های با شاخص VEI بزرگ‌تر مساوی ۴ یا شاخص DVI بیشتر از ۱۰۰ باشد و شرط دوم اینکه سعی گردید غالب آتشفشن‌های عمده‌ای که مربوط به منطقه‌ی حاره‌ای و نیمکره شمالی باشند استفاده گردد (جدول ۲ و شکل ۱).

در این پژوهش برای انتخاب آتشفشن‌ها و تاثیر آنها بر روی دما از شاخص‌های VEI و DVI استفاده شده است. شاخص انفجرای آتشفشنی^۱ (VEI) توسط نوهال و سلف^۲ (۱۹۸۲) ایجاد و بسط داده شد. از این شاخص اغلب برای تعیین میزان بزرگی انفجرهای آتشفشنی استفاده می‌شود (لاک وود و هازلت، ۲۰۱۰). در واقع میزان کاهش دما بعد از وقوع آتشفشن‌ها به زمان وقوع آن بستگی ندارد بلکه به بزرگی آتشفشن ربط دارد (مرونن، ۲۰۱۲). آتشفشن‌های بزرگ اغلب دارای VEI بزرگ‌تر مساوی ۴ هستند (برنامه جهانی آتشفشنی، ۲۰۱۳، پیکاس و گرب، ۲۰۲۰). شاخص VEI که برای اندازه گیری بزرگی آتشفشن‌ها استفاده می‌شود، مقیاسی بین صفر تا ۸ دارد. این مقیاس به روشهای مشابه مقیاس ریشتر برای زمین لرزه‌ها عمل می‌کند، بدین صورت که هر بازه از نظر ارزش نشان‌دهنده ده برابر افزایش اندازه است. اکثر قریب به اتفاق فوران‌های آتشفشنی VEI بین ۰ تا ۲ دارند. در این مطالعه از این شاخص برای انتخاب آتشفشن‌ها استفاده شده اما به دلیل برخی نواقص اطلاعاتی باید از شاخص‌هایی به عنوان مکمل نیز استفاده کرد. بنابراین از شاخص دیگری به نام شاخص پوشش غباری^۳ (DVI) نیز در کنار آن استفاده شده است (پیکاس و گرب، ۲۰۲۰). همچنین وقوع انفجرهای آتشفشنی باعث ورود غبارها، خاکستر و به خصوص دی‌اکسید گوگرد به

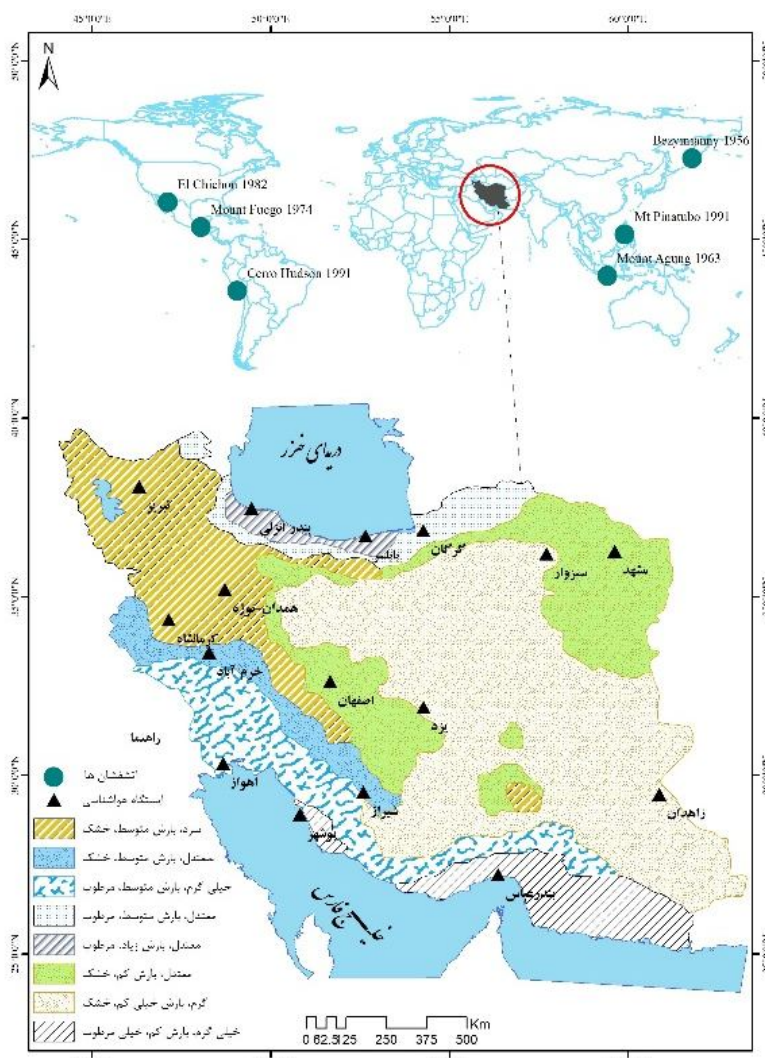
1. Volcanic Explosivity Index

2. Newhall and Self

3. Dust Veil Index

جدول ۲- آتشفشن‌های عمده انتخاب شده بر اساس فیلترهای اعمال شده (روبوک، ۲۰۱۵، اسپر و همکاران، ۲۰۱۳، فیشر و همکاران، ۲۰۰۷، گاگن و همکاران، ۲۰۱۷).

DVI	VEI	موقعیت	آتشفشن	سال وقوع
-	۵+	شیلی	Cerro Hudson	۱۹۹۱
۱۰۰	۶	فیلیپین	Mt Pinatubo	۱۹۹۱
۸۰	۵	مکریک	El Chichon	۱۹۸۲
-	۴	گواتمالا	Mount Fuego	۱۹۷۴
۸۰	۵	اندونزی	Gunung Agung	۱۹۶۳
-	۵	روسیه	Bezymianny	۱۹۵۶



شکل ۱- پراکنش آتشفشن‌های منتخب بر روی نقشه‌ی کره‌ی زمین به همراه موقعیت ایستگاه‌های هواشناسی مورد نظر در سطح ایران

SEA^۱ در قالب نرم افزار FHAES استفاده شد که کاربرد آن ارزیابی اثر آتش‌سوزی‌های بزرگ و

شایان ذکر است که برای انجام این مطالعه از نرم افزارهای مختلفی همچون FHAES و SPSS و ArcGIS استفاده شد. در واقع برای سنجش تاثیر فعالیت‌های آتشفشنی بر روی تغییرات دما از تکنیک

1. Superposed Epoch Analysis

در این پژوهش سعی شد تا نقش عواملی همچون طول و عرض جغرافیایی و ارتفاع ایستگاهها نیز بر تاثیرگذاری فعالیت‌های آتشفسانی مورد سنجش قرار گیرد که برای تحلیل این بخش، از تکنیک رگرسیون خطی چند گانه بهره برده شد. در این بخش دما به عنوان متغیر وابسته و متغیرهای ارتفاع، عرض جغرافیایی و طول جغرافیایی به عنوان متغیرهای مستقل در نظر گرفته شدند.

رگرسیون خطی چندگانه روشی است که با استفاده از آن می‌توان به تحلیل و بررسی توان چندین متغیر مختلف پرداخت. تحلیل رگرسیون این فرصت را به می‌دهد تا تغییرات متغیر وابسته را از طریق متغیر مستقل پیش‌بینی کرده و سهم هر یک از متغیرهای مستقل را در تبیین متغیر وابسته تعیین کنیم (کلانتری، ۱۳۸۹). تحلیل رگرسیون از مهم‌ترین روش‌ها در مسائل مدل سازی، پیش‌بینی و کنترل است. این مدل‌ها بر پایه‌ی مشاهدات مربوط به متغیرهای مستقل و وابسته، تابعی به منظور پیش‌بینی و کنترل متغیر وابسته بنا می‌کند (زراعتی نیشابوری و همکاران، ۱۳۹۹). رگرسیون رابطه‌ی نزدیک با ضریب همبستگی داشته و برای انجام آن باید ابتدا این ضریب را سنجید. هر چقدر ضریب همبستگی بین متغیرها قوی‌تر باشد، پیش‌بینی‌ها بهتر و تبیین رابطه بین آنها قابل اعتمادتر خواهد بود (مظفری و همکاران، ۱۳۹۱). رگرسیون خطی چندگانه در حقیقت ارتباط یک سری از متغیرهای مستقل را با یک متغیر وابسته بیان می‌کند. در صورت وجود متغیرهای مستقل X_1, X_2, \dots, X_n اگر ارتباط خطی بین آنها و متغیر Y که وابسته به آنها است ایجاد گردد، رابطه (۱) حاصل خواهد شد (صمدیان فرد و اسماعیلی، ۱۳۹۶؛ جعفری و دین پژوه، ۱۳۹۶):

(رابطه ۱)

$$y = a_0 + a_1x_1 + a_2x_2 + \dots + a_nx_n + e$$

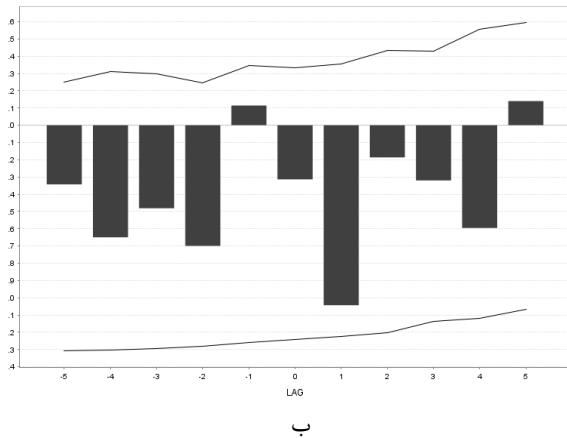
که در آن a_0 عرض از مبدأ و a_1, a_2, \dots, a_n ضرایب رگرسیونی هستند.

همچنین فوران‌های آتشفسانی بر تغییرات دمایی است. نرم افزار FHAES می‌تواند برای محاسبه تاثیر رویدادهایی که تاثیرات منحصر به فردی در سری‌های زمانی دارند همچون محاسبه اثرات سرمایشی ناشی از فوران آتشفسانهای مورد استفاده قرار گیرد (ساترلند، ۲۰۱۵).

تکنیک SEA شرایط آب و هوایی را در طول سال‌های رخداد آتشفسانهای با شرایط آب و هوایی غالب در طی یک بازه زمانی مشخص که واقعیت رخ می‌دهند، مقایسه می‌کند. SEA از حالت تصادفی مونت کارلو استفاده می‌کند تا وقفه‌های زمانی قابل اعتمادی از آب و هوا در طول تجزیه و تحلیل ایجاد کند. سپس میانگین و واریانس آب و هوا در سال‌های وقوع آتشفسان با این وقفه‌ها مقایسه می‌شود. SEA مقدادیر سال وقوع رخدادها و سال قبل از رخدادها را برای هر آتشفسان جمع آوری می‌کند و یک ماتریس ایجاد می‌کند که در آن میانگین و واریانس در تمام سال‌های همزمان با رخداد رویداد و همچنین سال‌های پیشین نیز محاسبه می‌شود (ساترلند، ۲۰۱۵). تکنیک SEA به دو نوع داده نیاز دارد؛ یکی سری زمانی پیوسته و دوم لیستی از رویدادها و وقایع اصلی می‌باشد. در این پژوهش داده‌های پیوسته، داده‌های بلند مدت دما هستند و رویدادها نیز آتشفسانهای می‌باشند که در جدول ۲ آورده شده‌اند. تکنیک SEA یک روش آماری است که برای ارزیابی روابط زمانی بین رخدادهای خاص و مقدادیر متغیر در یک سری زمانی از اطلاعات مرتبط با آن رویداد استفاده می‌شود. از این تکنیک برای ارزیابی ارتباط بین فوران‌های آتشفسانی و تغییرات دما بسیار استفاده شده است؛ به عنوان مثال به کار رائو و همکاران (۲۰۱۷) اشاره نمود که از تکنیک SEA برای ارزیابی تاثیر فوران‌های آتشفسانی بر روی شاخص‌های آب و هوایی سالانه، با تاخیر زمانی چند ساله، استفاده کردند. همچنین مطالعات دیگری تاثیر فوران‌های آتشفسانی را بر روی دما با استفاده از این تکنیک بررسی کرده‌اند که می‌توان به این موارد اشاره کرد (پیکاس و گرب، ۲۰۲۰، واهل و همکاران، ۲۰۱۴، جی ای او، ۲۰۱۷).

به مقدار ۱,۲۴ درجه سلسیوس کاهش یافته است. در میانگین حداقل دمای سالانه کرمانشاه به جز سال پنجم بعد از وقوع آتشفسان اثر کاهشی مشاهده شده است که در هیچ کدام مقدار کاهش معنادار نیست اما باز هم بیشترین اثر کاهشی مربوط به سال اول بعد از وقوع آتشفسان است. همین حالت را برای میانگین دمای سالانه کرمانشاه نیز می‌توان مشاهده کرد با این تفاوت که میزان کاهش دما برای سال اول بعد از فوران معنادار و میزان کاهش دما ۱,۵ درجه سلسیوس بوده است (شکل ۲ الف، ب، پ).

در مورد فصل زمستان قضیه متفاوت است و فقط در سال صفر (سال وقوع آتشفسان) و سال اول بعد از وقوع آتشفسان اثر کاهشی مشاهده شده است که در مورد هر سه متغیر میانگین حداکثر و میانگین حداقل و میانگین دمای زمستان، میزان کاهش دمای سال اول بعد از فوران معنادار بوده است (شکل ۲ ت، ث، چ). در مورد دمای تابستان هیچ مورد معناداری وجود ندارد ولی به جر سال پنجم میانگین دمای حداقل همه تاخیرهای زمانی برای هر سه متغیر مورد بررسی اثر کاهشی مشاهده شده است (شکل ۲ چ، ح، خ). در واقع می‌توان گفت که اثر کاهشی دما بعد از وقوع آتشفسان‌های عمده در فصل تابستان بیشتر از زمستان مشاهده شده است اما شدت آن کمتر از زمستان بوده است.

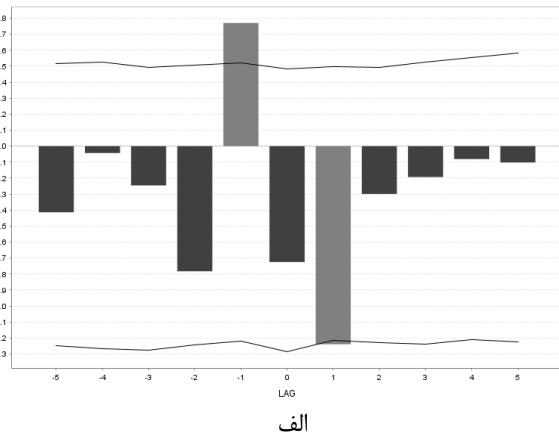


ب

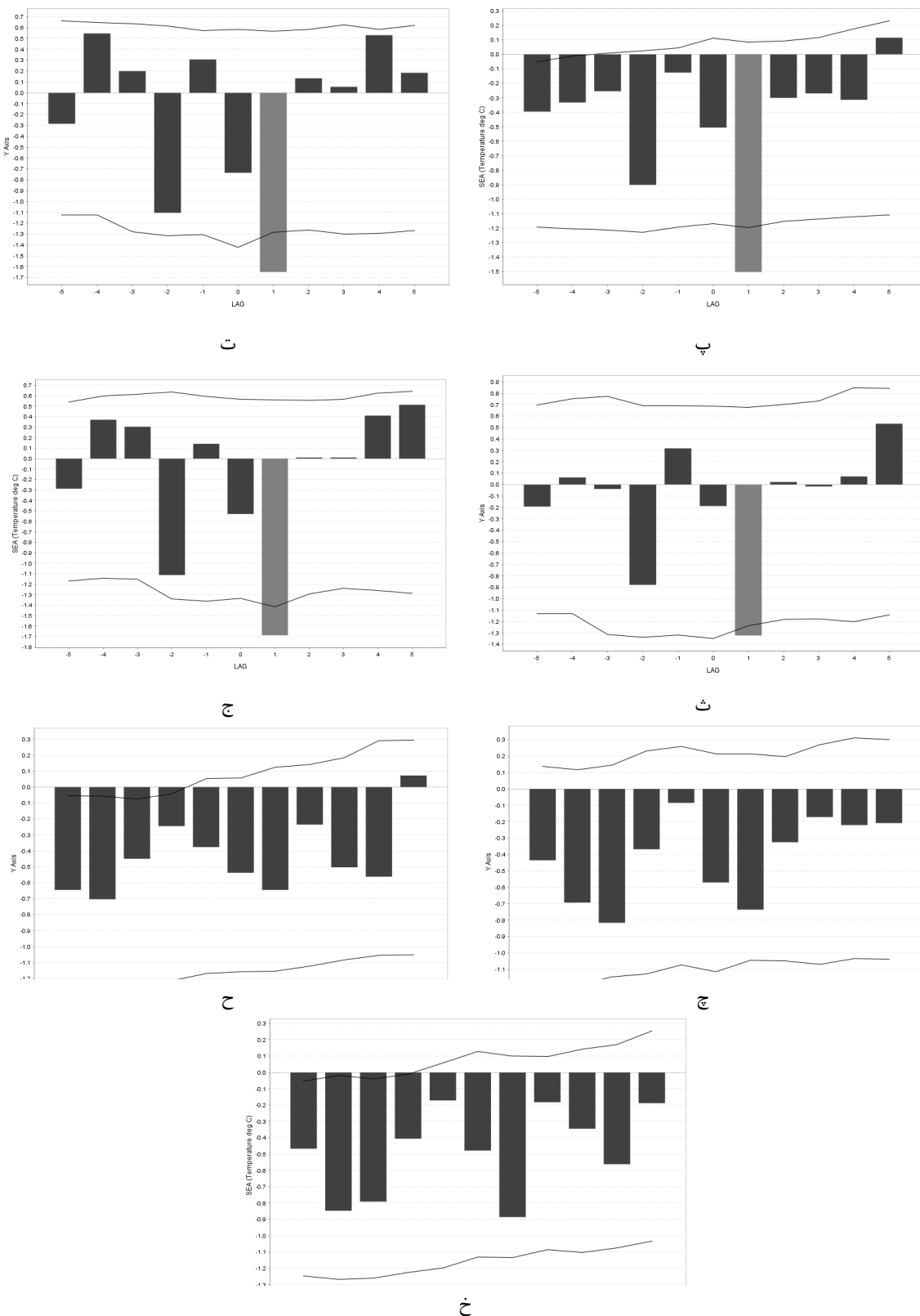
یافته‌های تحقیق

تأثیرپذیری دما از فوران‌های آتشفسانی با تاخیرهای زمانی مختلف: در ابتدا خروجی‌های مدل SEA ارائه شده که با استفاده از آن تغییرات سالانه و فصلی دما بعد از فوران‌های آتشفسانی با تاخیر صفر تا پنج ساله پس از وقوع آتشفسان‌ها، بررسی شده است. شکل ۲ شامل ۹ نمودار است که از تاخیر زمانی ۵-۵+۵ را شامل می‌شود و در هر شکل میزان کاهش دمای استخراج شده بر اساس مدل SEA به صورت میله‌ای آورده شده است. در این شکل‌ها خط افقی نشان دهنده ی سطح اطمینان ۹۵٪ است و اگر هر میله که مربوط به یک تاخیر زمانی است، آن را قطع کند نشان‌دهنده معنادار بودن اثر فوران آتشفسانی بر کاهش یا افزایش دما بعد از وقوع آن است. برای هر ۱۷ ایستگاه مورد مطالعه این ۹ نمودار تولید و بررسی شده و به دلیل حجم بالای آنها به صورت موردي فقط نمودارهای ایستگاه کرمانشاه آورده شده است و نتایج مدل SEA برای بقیه ایستگاه‌ها در چند جدول خلاصه سازی شده است.

اما در ابتدا می‌توان به نتایج مربوط به ایستگاه کرمانشاه اشاره نمود. بطوری که یافته‌ها نشان می‌دهند، در تمامی ۵ سال بعد از وقوع آتشفسان‌ها، میانگین حداکثر دمای سالانه کرمانشاه کاهشی بوده است که فقط در سال اول بعد از وقوع معنادار بوده و



الف



شکل ۲- واکاوی اثر گذاری فعالیتهای آتشفشانی با تاخیرهای زمانی صفر تا پنج سال بر روی تغییرات دمای (الف، ب، پ؛ میانگین حداقل و میانگین حداقل و متوسط دمای سالانه، ت، ث، ج؛ میانگین حداقل و میانگین حداقل و متوسط دمای زمستانه، ح، ح، خ؛ میانگین حداقل و میانگین حداقل و متوسط: دمای تابستان) ایستگاه کرمانشاه

سال دوم پس از وقوع آن می‌توان آثار آن را مشاهده کرد. بیشترین اثر کاهشی دما در سال اول بعد از فوران مشاهده شده است به گونه‌ای که ۸۸٪ ایستگاه کاهش معنادار دما داشته‌اند و در تاخیر زمانی یک ساله فوران آتشفسانی به طور میانگین باعث کاهش ۱- درجه سلسیوسی دما در سطح ایستگاه‌های مورد مطالعه شده است؛ بعد از آن میانگین کاهش دما در سال وقوع آتشفسانها ۶۷،۰-۰ درجه سلسیوس در رتبه دوم و در تاخیر زمانی دو ساله میانگین کاهش دما ۴۷،۰-۰ درجه سلسیوس در رتبه سوم قرار دارد (جدول ۳).

بررسی میانگین دمای سالانه نشان داد که بعد از فوران‌های آتشفسانی عمده می‌توان اثرات کاهشی دما را با تاخیر زمانی صفر، یک و دو ساله مشاهده کرد؛ به گونه‌ای که از ۱۶ ایستگاه مورد مطالعه به جز اهواز در تاخیر زمانی یک و دو ساله و همچنین خرم آباد در تاخیر زمانی دو ساله، در بقیه ایستگاه‌ها اثر کاهشی دما مشاهده شده است. از سال سوم به بعد در برخی ایستگاه‌ها کاهش و در برخی افزایش دما (حتی معنادار) دیده می‌شود که نشان دهنده‌ی عدم تاثیر فوران‌های آتشفسانی بعد از تاخیر زمانی سه ساله است. در واقع می‌توان گفت اثر فوران‌های آتشفسانی بر روی دما کاهشی بوده و در سال وقوع، سال اول و

جدول ۳- خروجی مدل SEA برای دمای میانگین سالانه با تاخیر صفر تا پنج ساله

ردیف‌های هایلایت شده در سطح ۹۵٪ معنادار هستند، به جهت معناداری توجه کنید

۵	۴	۳	۲	۱	۰	ایستگاه/تاخیر زمانی
-۰,۳۳۳	-۰,۴۱۳	۰,۹۳	-۰,۳۱۲	-۱,۱۵۶	-۰,۶۰۲	اصفهان
۰,۱۳۵	۰,۲۱۵	-۰,۱۹۲	۰,۲۵	۰,۰۸۷	-۰,۵۱	اهواز
-۰,۰۴۹	-۰,۲۱۳	-۰,۳۹۶	-۰,۹۴۸	-۰,۸۷۶	-۰,۹۶۱	بابلسر
۰,۰۶۲	-۰,۱۷۵	-۰,۵۲۸	-۱,۰۲	-۰,۶۲۲	-۰,۷۵۵	بندر انزلی
-۰,۱۴۹	۰,۰۰۵	۰,۲۲	-۰,۳۶۷	-۰,۷۸۵	-۰,۴۶۵	بندر عباس
۰,۴۲۲	-۰,۳۷۱	-۰,۲۰۷	-۰,۵۴۵	-۱,۳۵۸	-۰,۹۶۳	بوشهر
۰,۳۷۵	-۰,۱۳۶	۰,۰۲۴	-۰,۶۸۳	-۱,۱۵۶	-۰,۹۱۲	تبریز
۰,۳۹۴	۰,۱۶۵	۰,۳۶۷	۰,۰۶۳	-۰,۸۰۱	-۰,۴۸۱	خرم آباد
-۰,۵۳۴	-۰,۱۲	۰,۱۸۶	-۰,۶۹۴	-۱,۳۰۲	-۰,۸۱۶	Zahedan
-۰,۱۵۹	-۰,۲۴۶	۰,۲۹۲	-۰,۶۵	-۱,۰۳۲	-۰,۴۸۷	سبزوار
-۰,۲۷	-۰,۲۳	۰,۲۹۷	-۰,۵۲۶	-۱,۴۳۴	-۰,۶۸۴	شیراز
۰,۱۱۵	-۰,۳۱۴	-۰,۲۷	-۰,۳	-۱,۵۰۳	-۰,۵۰۵	کرمانشاه
۰,۱۸۷	۰,۲۹۷	۰,۰۳۵	-۰,۲۶	-۰,۲۷۹	-۰,۳۲۵	گرگان
-۰,۰۶۶	-۰,۴۱۹	-۰,۱۶۸	-۰,۶۲۴	-۰,۹۹۲	-۰,۹	مشهد
۰,۱۷۲	۰,۰۸۳	۰,۵۵۶	-۰,۱۵۶	-۱,۷۵۶	-۰,۶۴۲	همدان
-۰,۶۲۳	-۰,۷۱۵	-۰,۰۴۸	-۰,۷۴۶	-۱,۱۰۷	-۰,۷۸۱	یزد
-۰,۰۲	-۰,۱۶	۰,۰۷	-۰,۴۷	-۱	-۰,۶۷	میانگین

بررسی دمای میانگین حداقل سالانه نیز نتایج مشابه با دمای میانگین سالانه را دارد. بدین صورت که اثرات کاهشی فقط در سال اول وقوع و تاخیر زمانی یک و دو ساله مشاهده شد و از آن به بعد اثرات کاهشی و افزایشی توامان مشاهده می‌شود. در این

در ادامه نتایج خروجی مدل SEA برای دمای میانگین حداقل سالانه و دمای میانگین حداقل سالانه گزارش می‌شود ولی با توجه به اینکه ۹ متغیر مورد بررسی قرار گرفته و قرار دادن تمامی جدول محدود نیست از ارائه جدول‌های مربوطه خودداری شده است.

کاهش دما در متغیر حداقل دما را کمتر از دو متغیر دیگر داشت و دوم اینکه تقریباً در تمامی پنج سال پس از وقوع آتشفسان در اکثر ایستگاه‌ها می‌توان اثر کاهشی را مشاهده کرد در حالی که در دو متغیر دیگر پس از سال دوم وقوع آتشفسان اثر کاهشی بسیار کم رنگ می‌شود. اگر به ارقام میانگین دمای میانگین حداقل سالانه توجه کنید در تاخیر زمانی صفر تا دو ساله مقدار کاهشی دما کمتر از دمای میانگین حداقل سالانه است اما از تاخیر زمانی سه ساله به بعد بیشتر شده است. می‌توان اینگونه نتیجه گرفت که در دمای میانگین حداقل سالانه شدت کاهش دما در اثر فوران‌های آتشفسانی کمتر بوده اما مدت زمان تاثیر پذیری آن بیشتر بوده است (جدول ۴).

جدول ۴- خروجی مدل SEA برای دمای میانگین حداقل سالانه و دمای میانگین حداقل سالانه با تاخیر صفر تا پنج ساله

تاخیر زمانی	میانگین حداقل سالانه	میانگین حداقل سالانه
۰	-۰,۷۳	-۰,۹۹
۱	-۰,۹۹	-۰,۴۳
۲	-۰,۷۳	-۰,۱
۳	-۰,۹۹	-۰,۰۱
۴	-۰,۱۵	-۰,۰۷
۵	-۰,۴۴	-۰,۰۳

حداکثر زمستانه کاهش معنادار دما داشته اند که نشان می‌دهد دمای میانگین حداکثر زمستانه از نظر شدت، اثر بیشتری از فوران‌های آتشفسانی نسبت به دمای میانگین زمستانه پذیرفته است به گونه‌ای که بیشترین مقدار اثر کاهشی در همین تاخیر زمانی و در دمای میانگین حداکثر زمستانه با مقدار ۱,۰۷- ثبت شده است. مشابه متغیر دمای میانگین زمستانه در این متغیر نیز فقط تاخیر زمانی صفر تا دو سال اثر کاهشی از فوران‌های آتشفسانی پذیرفته اند و تاخیر زمانی سه تا پنج ساله مقادیر مثبت را ثبت کرده اند (جدول ۶). در دمای میانگین حداقل زمستانه فقط چهار ایستگاه در سطح ۹۵٪ و در تاخیر زمانی یک ساله معنادار شده اند که نشان دهنده‌ی اثر پذیری کمتر این متغیر از فوران‌های آتشفسانی در مقایسه با دمای میانگین حداکثر زمستانه است. مقایسه این متغیر را با دمای میانگین حداقل سالانه نشان داد که در دمای میانگین حداقل سالانه شدت اثر پذیری کمتر ولی فراوانی بیشتر است و در تمامی پنج تاخیر زمانی مقادیر منفی ثبت شده است اما در دمای میانگین

متغیر نیز ۸ ایستگاه در تاخیر زمانی یک ساله معناداری در سطح ۹۵٪ را نشان می‌دهند و بیشترین اثر کاهشی با مقدار ۰,۹۹- مربوط به سال اول بعد از وقوع فوران‌های آتشفسانی است. تفاوت این متغیر با دمای میانگین در این است که در سال وقوع آتشفسان دو ایستگاه اهواز و بندرعباس در سطح ۹۰٪ و ۹۵٪ معنادار شده‌اند (جدول ۴).

بررسی دمای میانگین حداقل سالانه دو تفاوت عمده با متغیر میانگین حداکثر سالانه و میانگین سالانه نشان می‌دهد که شامل: اول اینکه شدت کاهش دما کمتر از دو متغیر دیگر بوده است و فقط در تاخیر زمانی یک ساله و در ایستگاه اصفهان مقدار کاهش دما معنادار بوده است. در واقع می‌توان اثر

جدول ۴- خروجی مدل SEA برای دمای میانگین حداقل سالانه و دمای میانگین حداقل سالانه با تاخیر صفر تا پنج ساله

بررسی میانگین دمای زمستان تا حدودی نتایج مشابهی با دمای میانگین سالانه نشان داد. در میانگین دمای زمستان نیز اثر کاهشی دما فقط در تاخیرهای زمانی صفر تا دو سال مشاهده شد ولی در تاخیرهای زمستانی سه تا پنج سال بعد از فوران آتشفسان‌ها، اکثر ایستگاه‌ها مقادیر مثبت دارند که یعنی میزان اثر کاهشی دما در این تاخیرهای زمانی کمتر از میانگین دمای سالانه است. در این متغیر ایستگاه اهواز در تاخیر زمانی صفر معنادار شده و در تاخیر زمانی یک ساله نیز ۷ ایستگاه مقدار کاهش دمای معنادار داشته اند. مقایسه میانگین کاهش دما بین حالت زمستانه با سالانه نشان می‌دهد که در زمستان در تاخیر زمانی یک ساله، میزان کاهش دما شدت بیشتری داشته است به گونه‌ای که میانگین آن ۱,۰۳- در برابر ۱- در میانگین دمای سالانه است ولی در بقیه تاخیرهای زمانی میزان کاهش دما در حالت سالانه بیش از زمستان است (جدول ۵).

در تاخیر زمانی یک ساله شش ایستگاه در سطح ۹۵٪ و چهار ایستگاه در سطح ۹۰٪ در دمای میانگین

صفر تا دو ساله مقدار منفی محاسبه شده است (جدول ۶). می‌توان گفت که اثر پذیری دمای حداکثر از فوران‌های آتشفسانی بیشتر از دمای حداقل است.

حداقل زمستانه هم شدت (به استثناء تاخیر زمانی یک ساله) و هم فراوانی کمتر شده است به گونه‌ای که در حالت سالانه تمامی تاخیرهای زمانی مقادیر منفی را ثبت کرده ولی در حالت زمستانه فقط تاخیر زمانی

جدول ۵- خروجی مدل SEA برای دمای میانگین زمستانه با تاخیر صفر تا پنج ساله

ردیف‌های هایلایت شده در سطح ۹۵٪ معنادار هستند، به جهت معناداری توجه کنید

۵	۴	۳	۲	۱	۰	ایستگاه/تاخیر زمانی
۰,۲۶۸	۰,۳۲۹	۰,۱۶۷	-۰,۱۶۶	-۱,۲۶۶	-۰,۶۴	اصفهان
۰,۱۴۳	۰,۷۹	۰,۱۹۶	۰,۳۸۲	۰,۰۶۹	-۱,۰۴۵	اهواز
۰,۵۱۶	۰,۲۴۷	-۰,۳۵۶	-۰,۶۰۱	-۰,۹۹۳	-۰,۶۷۱	بابلسر
۰,۶۶۴	۰,۲۴۲	-۰,۴۵۹	-۰,۴۳۵	-۰,۵۹۲	-۰,۳۲۶	بندر انزلی
-۰,۲۷۳	۰,۱۷۸	۰,۳۹۵	-۰,۲۷۳	-۱,۱۵۷	-۰,۲۴۲	بندر عباس
۰,۶۷۱	-۰,۱۰۵	-۰,۱۶۸	-۰,۴۳	-۱,۰۵۱	-۰,۶۴۷	بوشهر
۰,۸۲۷	۰,۴۴۴	۰,۱۰۱	-۰,۲۶۹	-۱,۲۰۴	-۰,۵۰۱	تبریز
۰,۶۱۵	۰,۵۱۹	۰,۴۲۵	۰,۲۴	-۱,۱۸۳	-۰,۵۴۶	خرم آباد
-۰,۰۵۹	-۰,۱۱۷	۰,۰۴۷	-۰,۳۷۸	-۰,۸۶۲	-۰,۴۹۹	زاهدان
۰,۳۴۸	۰,۱۶۶	۰,۰۲۲	-۰,۲۹۷	-۰,۹۲۸	-۰,۴۹	سیزووار
۰,۱۸۱	۰,۰۷۵	۰,۰۱	-۰,۱۷۸	-۱,۰۵۸	-۰,۷۱۲	شیراز
۰,۵۱۴	۰,۴۱۱	۰,۰۱	۰,۰۱	-۱,۶۸۸	-۰,۵۲۹	کرمانشاه
۰,۵۶۹	۰,۶۳۵	۰,۰۷۱	۰,۰۳۱	-۰,۲۸	-۰,۰۵۴	گرگان
۰,۳۷۱	۰,۰۰۲	-۰,۲۲۵	-۰,۳۳۶	-۰,۷۸۵	-۰,۶۳۶	مشهد
۰,۴۶۶	۰,۶۹۱	۰,۳۴۴	۰,۱۳۶	-۱,۳۱۷	-۰,۵۴۱	همدان
۰,۰۶۴	-۰,۰۵۶	-۰,۲۱۳	-۰,۶۰۲	-۱,۱۶۵	-۰,۸۲۳	یزد
۰,۳۷	۰,۲۸	۰,۰۲	-۰,۲۰	-۱,۰۳	-۰,۵۶	میانگین

جدول ۶- خروجی مدل SEA برای دمای میانگین حداکثر زمستانه و دمای میانگین حداقل زمستانه با تاخیر صفر تا پنج ساله

۵	۴	۳	۲	۱	۰	تاخیر زمانی
۰,۴۰	۰,۳۷	۰,۱۶	-۰,۱۶	-۱,۰۷	-۰,۶۰	میانگین حداکثر زمستانه
۰,۲۸	۰,۰۷	۰,۰۳	-۰,۱۵	-۰,۹۴	-۰,۳۴	میانگین حداقل زمستانه

فوران‌های آتشفسانی در زمستان بیشتر از تابستان تاثیر گذار بوده است. تفاوت دوم حالت تابستانه در مقایسه با زمستانه در این است که بیشترین تاثیر کاهشی دما در تاخیر زمانی صفر و سپس یک ساله بوده است در حالی که در هر دو حالت زمستانه و سالانه تاخیر زمانی یک‌ساله بیشترین اثر پذیری را نشان می‌دهد. تفاوت سوم را در فراوانی‌ها باید جست و جو کرد به گونه‌ای که در حالت زمستانه از تاخیر

بررسی مقادیر دمای میانگین تابستانه تفاوت اساسی با حالت زمستانه و حتی سالانه نشان می‌دهد. در شرایط تابستانه فقط ایستگاه یزد در تاخیر زمانی پنج ساله مقدار معنادار کاهشی را ثبت کرده است و ایستگاه اهواز در تاخیر زمانی صفر و یک ساله مقدار مثبت دارد که نشان می‌دهد در حالت تابستانه شدت اثر گذاری فوران‌های آتشفسانی نسبت به حالت زمستانه به شدت کاهش یافته است. در واقع

در واقع می‌توان گفت با وجود شدت اثر پذیری کمتر در تابستان ولی فراوانی بیشتر است (جدول ۷).

زمانی سه ساله تا پنج ساله مقادیر میانگین دما مثبت شده اند اما در حالت تابستانه در تمامی تاخیرهای زمانی مقادیر میانگین دما منفی محاسبه شده است.

جدول ۷- خروجی مدل SEA برای دمای میانگین تابستانه با تاخیر صفر تا پنج ساله

ردیفهای هایلایت شده در سطح ۹۵٪ معنادار هستند، به جهت معناداری توجه کنید

۵	۴	۳	۲	۱	۰	ایستگاه/تاخیر زمانی
-۰,۶۰۹	-۰,۳۷۱	۰,۶۸۳	-۰,۰۹۷	-۰,۲۰۷	-۰,۲۶۲	اصفهان
۰,۰۹۸	۰,۱۴۷	-۰,۳۰۷	-۰,۱۰۲	۰,۰۹۳	۰,۰۲	اهواز
-۰,۳۷۸	-۰,۶۱۲	-۰,۵۲۲	-۰,۶۶۵	-۰,۴۰۸	-۰,۸۶۹	بابلسر
-۰,۴۶۲	-۰,۶۴۷	-۰,۳۴۹	-۰,۷۰۳	-۰,۴۲۱	-۰,۶۵۵	بندر انزلی
۰,۴۶۹	-۰,۰۰۶	-۰,۲۴۹	-۰,۳۵۹	-۰,۳۴۹	-۰,۶۲۹	بندر عباس
۰,۳۵۶	-۰,۵۰۳	-۰,۶۰۵	-۰,۷۱۶	-۰,۶۰۵	-۰,۸۳۵	بوشهر
۰,۰۰۹	-۰,۶۳۱	-۰,۲۱۹	-۰,۴۱۴	-۰,۵۴۵	-۰,۷۲۴	تبریز
-۰,۳۳۲	-۰,۰۸۱	-۰,۱۵۱	-۰,۰۱۶	-۰,۶۷۳	-۰,۴۵۱	خرم آباد
-۰,۶۳۱	-۰,۲۹۸	۰,۳۰۵	-۰,۵۵۲	-۰,۵۸۸	-۰,۸۷۶	زاهدان
-۰,۲۶۹	-۰,۱۳۸	۰,۵۱۵	-۰,۳۹۳	-۰,۲۶۲	-۰,۲۱	سبزوار
-۰,۶۸۷	-۰,۲۱۸	۰,۶۱۱	-۰,۷۰۲	-۰,۵۸۴	-۰,۳۵۷	شیراز
-۰,۱۸۸	-۰,۵۶۲	-۰,۳۴۴	-۰,۱۸۳	-۰,۸۸۶	-۰,۴۷۸	کرمانشاه
-۰,۳۰۹	-۰,۲۹۵	-۰,۱۶۶	-۰,۲۸۸	-۰,۵۰۲	-۰,۴۸۱	گرگان
-۰,۳۳۸	-۰,۴۸۹	-۰,۰۶۴	-۰,۳۶۵	-۰,۵۲۶	-۰,۸۶۵	مشهد
-۰,۴۳۶	-۰,۴۸۱	۰,۳۱۸	-۰,۳۴۶	-۰,۶۴۵	-۰,۳۷۶	همدان
-۰,۹۶۸	-۰,۶۸۷	۰,۱۸۳	-۰,۵۸۳	-۰,۱۸۶	-۰,۳۲۴	یزد
-۰,۲۵	-۰,۰۳۲	-۰,۰۲	-۰,۰۴۱	-۰,۰۴۶	-۰,۰۵۲	میانگین

تابستانه دوباره فقط ایستگاه یزد در تاخیر زمانی پنج ساله مقدار معنادار کاهشی داشته است و در حالت حداقل تابستانه، فقط ایستگاه اصفهان در تاخیر زمانی چهار ساله معنادار بوده است که تایید کننده شدت اثر پذیری کم این فصل از فوران‌های آتشفشاری است (جدول ۸).

در مورد دمای میانگین حداقل و حداکثر تابستانه هم تفاوت اساسی بین با حالت زمستانه و سالانه وجود دارد. در حالت زمستانه و سالانه دمای حداکثر اثر کاهشی شدیدتری را نسبت به دمای حداقل پذیرفته بود اما در حالت تابستانه این قضیه بر عکس شده و در تابستان، دمای حداقل اثر کاهشی بیشتری را از فوران‌های آتشفشاری پذیرفته است. در دمای حداکثر

جدول ۸- خروجی مدل SEA برای دمای میانگین حداقل زمستانه و دمای میانگین حداقل زمستانه با تاخیر صفر تا پنج ساله

۵	۴	۳	۲	۱	۰	تاخیر زمانی
-۰,۳۰	-۰,۳۶	۰,۱۰	-۰,۲۸	-۰,۲۹	-۰,۴۱	میانگین حداقل تابستانه
-۰,۲۳	-۰,۳۳	-۰,۰۸	-۰,۳۸	-۰,۴۰	-۰,۵۰	میانگین حداقل تابستانه

آتشفشاری از مدل رگرسیون خطی چند گانه استفاده گردیده است. در این بخش ۵۴ مرتبه مدل رگرسیون خطی چند گانه بین متغیرهای مستقل و خروجی مدل SEA برای حالت‌های مختلف زیر اجرا شد:
- برای تاخیرهای زمانی صفر تا ۵ سال (شش تکرار)

ارزیابی اثر فاکتورهای جغرافیای طبیعی در تأثیرپذیری دمای ایستگاهها از فوران‌های آتشفشاری: به منظور واکاوی اثر فاکتورهای جغرافیای طبیعی (ارتفاع، طول و عرض جغرافیایی) بر شدت کاهش دمای ایستگاهها پس از وقوع فعالیت‌های

کمتر باشند بهتر است و باید کمتر از ۰,۰۵ باشند. حال آنکه کوچک بودن ضریب F از ۰,۰۵، معنادار بودن مدل را نشان می‌دهد و کمتر بودن ضریب P از ۰,۰۵، همبستگی معنادار بین متغیر وابسته و مستقل را تأیید می‌کند. همانطور که در جدول ۹ مشاهده می‌شود در بین متغیرهای مستقل تنها ارتفاع دارای ارزش P کمتر از ۰,۰۵ است. بنابراین می‌توان گفت در بین متغیرهای مستقل در حالت دمای متوسط سالانه با تاخیر یک ساله، تنها ارتفاع دارای اثرگذاری معناداری بر روی کاهش دما در ارتباط با فوران‌های آتشفسانی است و به ازاء هر یک متر افزایش ارتفاع به میزان ۰,۰۰۰۵ مقدار SEA کاهش یافته است؛ یا می‌توان گفت با افزایش هر ۱۰۰۰ متر افزایش ارتفاع ۰,۵ درجه سلسیوس کاهش دما در ارتباط با فوران‌های آتشفسانی وجود دارد. به گونه دیگر می‌توان گفت که مناطق مرتفع نسبت به مناطق پست واکنش بیشتری به فوران‌های آتشفسانی نشان داده و کاهش دمای بیشتری را تجربه کرده‌اند.

- برای دمای متوسط، میانگین حداقل و میانگین حداکثر (سه تکرار)
- برای حالت‌های سالانه، زمستانه و تابستانه (سه تکرار)

که از بین ۵۴ حالت اجرا شده مدل رگرسیون خطی فقط شش حالت مدل معنادار بود که در حالت سالانه فقط در دمای میانگین و دمای میانگین جداکثر در تاخیر زمانی یک ساله معنادار شد. از طرف دیگر در حالت تابستانه هیچ کدام از مدل‌ها معنادار نشد و در حالت زمستانه دمای میانگین جداکثر با تاخیر زمانی صفر و یک ساله و دمای میانگین حداقل با تاخیر زمانی صفر و یک ساله معنادار شدند.

در مدل رگرسیون متوسط دمای سالانه با تاخیر یک ساله، مقدار ضریب تعیین ۰,۵۴ به دست آمده است که این ارزش گویای این بوده که فقط ۵۴ درصد داده‌ها در مدل رگرسیون برآذش داده شده است. با توجه به اینکه مقدار F در این مدل ۰,۳ به دست آمده است؛ بنابراین می‌توان به نتایج مدل اعتماد کرد. ضریب F و ضریب P بر خلاف ضریب تعیین هر چقدر

جدول ۹- گزارش آماره‌های مدل رگرسیون متوسط دمای سالانه با تاخیر زمانی یک سال پس از رخداد آتشفسان‌ها

Regression Statistics					
	df	SS	MS	F	Significance F
Multiple R					0.74
R Square					0.54
Adjusted R Square					0.42
Standard Error					0.37
Regression	3	1.75	0.58	4.34	0.030
Residual	11	1.48	0.13		
Total	14	3.22			
Coefficients					
Intercept	-1.45		1.69	-0.85	0.41
عرض جغرافیایی	0.02		0.029	0.80	0.44
طول جغرافیایی	0.002		0.022	0.11	0.92
ارتفاع	-0.0005		0.0001	-3.57	0.004

و مقدار ضریب تعیین گویای این است که ۷۰ درصد داده‌ها در مدل رگرسیون برآذش داده شده‌اند. دلیل افزایش این ضریب نسبت به متوسط دمای سالانه نیز در معنادار شدن دو متغیر مستقل عرض جغرافیایی و

با هدف کاستن از حجم خروجی‌های مدل رگرسیون، تمامی شش حالت معنادار در یک جدول خلاصه سازی شد (جدول ۱۰). مدل رگرسیون دمای میانگین جداکثر سالانه با تاخیر یک ساله معنادار شده

همانطور که از مدل رگرسیونی استخراج شده مشخص است به ازاء هر یک متر افزایش ارتفاع به میزان $3,000\text{m}$ مقدار SEA کاهش یافته، به ازاء هر یک درجه افزایش عرض جغرافیایی شاخص SEA به اندازه 0.086m افزایش یافته و به ازاء هر یک درجه افزایش طول جغرافیایی شاخص SEA به اندازه 0.046m افزایش یافته است (جدول ۱۰). در واقع می‌توان گفت که برای دمای میانگین حداکثر زمستانه رابطه معکوس بین ارتفاع و خروجی SEA وجود دارد و مناطق مرتفع تاثیر کاهشی بیشتری را در ارتباط با آتشفسانی پذیرند؛ اما در ارتباط با عرض جغرافیایی این ارتباط مستقیم است. یعنی مناطق با عرض جغرافیایی و طول جغرافیایی پایین تر و غربی تر در ایران تاثیر کاهشی بیشتری را در ارتباط با فوران‌های آتشفسانی می‌پذیرند.

در مدل رگرسیون دمای میانگین حداکثر زمستانه با تاخیر زمانی صفر، 77m درصد داده‌ها در مدل رگرسیون برآذش داده شده اند. در این حالت متغیر مستقل ارتفاع و عرض جغرافیایی دارای اثرگذاری معنادار بر روی کاهش دما هستند و به ازاء هر یک متر افزایش ارتفاع به میزان $15,000\text{m}$ مقدار SEA کاهش یافته، همچنین به ازاء هر یک درجه افزایش عرض جغرافیایی شاخص SEA به اندازه 0.041m واحد افزایش یافته است (جدول ۱۰). در واقع می‌توان گفت که برای دمای میانگین حداکثر زمستانه با تاخیر صفر نیز رابطه معکوس بین ارتفاع و خروجی SEA و رابطه مستقیم با عرض جغرافیایی وجود دارد.

در مدل رگرسیون دمای میانگین حداکثر زمستانه با تاخیر زمانی یک ساله ضریب تعیین ضعیف شده و فقط 54% درصد داده‌ها در مدل رگرسیون برآذش داده شده اند. دلیل ضعیف شدن ضریب تعیین در این است که فقط متغیر طول جغرافیایی معنادار شده و دو متغیر دیگر در این حالت معنادار نشدنند. با توجه به اینکه مقدار F در این مدل 0.03 به دست آمده است تا حدودی می‌توان به نتایج مدل اعتماد کرد. در این حالت فقط طول جغرافیایی دارای اثرگذاری معنادار بر روی کاهش دما در رابطه با فوران‌های آتشفسانی است

ارتفاع است در حالی که در مدل متوسط دمای سالانه فقط ارتفاع معنادار شده بود. همانطور که در جدول ۱۰ مشاهده می‌شود در بین متغیرهای مستقل ارتفاع و عرض جغرافیایی دارای ارزش P کمتر از 0.05 است. بنابراین می‌توان گفت در بین متغیرهای مستقل در حالت دمای میانگین حداکثر سالانه با تاخیر یک ساله، ارتفاع و عرض جغرافیایی دارای اثرگذاری معناداری بر روی کاهش دما در ارتباط با فوران‌های آتشفسانی هستند. به ازاء هر یک متر افزایش ارتفاع به میزان $4,000\text{m}$ مقدار SEA کاهش یافته است و به ازاء هر یک درجه افزایش عرض جغرافیایی شاخص SEA به اندازه 0.055m افزایش یافته است. در واقع می‌توان گفت که برای متوسط حداکثر دمای سالانه رابطه معکوس بین ارتفاع و خروجی SEA وجود دارد و مناطق مرتفع تاثیر کاهشی بیشتری را در ارتباط با فوران‌های آتشفسانی می‌پذیرند؛ اما در خصوص عرض جغرافیایی این ارتباط مستقیم است. یعنی مناطق با عرض جغرافیایی پایین تر در ایران تاثیر کاهشی بیشتری را در ارتباط با فوران‌های آتشفسانی می‌پذیرند.

اجرای مدل رگرسیون برای تابستان نشان داد که فوران‌های آتشفسانی در فصل گرم تاثیر معناداری بر دما در ایران نداشته اند. به گونه‌ای که اجرای مدل رگرسیون تابستان برای هیچ کدام از تاخیرهای زمانی صفر تا ۵ سال و در حالت میانگین، میانگین حداکثر و میانگین حداقل معنادار نبود.

در مدل رگرسیون دمای میانگین حداکثر زمستانه با تاخیر زمانی یک ساله، 79% درصد تغییرات متغیر وابسته توسط متغیرهای مستقل تعریف می‌شوند. دلیل افزایش ضریب تعیین نسبت به دو حالت قبل در معنادار شدن هر سه متغیر مستقل عرض جغرافیایی، طول جغرافیایی و ارتفاع است. مقدار F در این مدل $45,000$ به دست آمده است که معناداری مدل را تایید می‌کند. در حالت دمای متوسط حداکثر زمستانه با تاخیر یک ساله، ارتفاع، طول جغرافیایی و عرض جغرافیایی دارای اثرگذاری معناداری بر روی کاهش دما در ارتباط با فوران‌های آتشفسانی هستند.

زمستانه با تاخیر زمانی صفر، عرض جغرافیایی دارای اثرگذاری معناداری بر روی کاهش دما در ارتباط با فوران‌های آتشفسانی است و به ازاء هر یک درجه افزایش عرض جغرافیایی شاخص SEA به اندازه ۰.۳۹ واحد کاهش یافته است. در واقع می‌توان گفت که برای دمای متوسط حداقل زمستانه با تاخیر زمانی صفر رابطه معکوس معنادار با عرض جغرافیایی وجود دارد؛ یعنی مناطق با غرض جغرافیایی بالاتر در ایران تاثیر کاهشی بیشتری از فوران‌های آتشفسانی پذیرفته اند. هر چند این حالت فقط در مورد دمای میانگین حداقل زمستانه دیده شد و در سایر مدل این رابطه مستقیم بود.

و به ازاء هر یک درجه افزایش طول جغرافیایی شاخص SEA به اندازه ۰.۶۲ واحد افزایش یافته است (جدول ۱۰). در واقع می‌توان گفت که برای دمای میانگین حداقل زمستانه با تاخیر یک ساله، رابطه مستقیم با طول جغرافیایی وجود دارد؛ یعنی مناطق غربی در ایران تاثیر کاهشی بیشتری از فوران‌های آتشفسانی پذیرفته‌اند.

در مدل رگرسیون دمای میانگین حداقل زمستانه با تاخیر زمانی صفر نیز ۵۵ درصد داده‌ها در مدل رگرسیون برآش داده شده اند. همانطور که در جدول ۱۰ مشاهده می‌شود متغیر مستقل عرض جغرافیایی دارای ارزش P = ۰.۰۹ است. بنابراین می‌توان گفت در بین متغیرهای مستقل در حالت دمای میانگین حداقل

جدول ۱۰: خروجی مدل رگرسیون خطی چند گانه

Coefficients	P-value	P ضریب	F ضریب	ضریب تعیین	ضریب	متغیر
۰.۰۲۳۱	۰.۴۴۰	ضریب P عرض جغرافیایی				دمای میانگین سالانه با تاخیر
۰.۰۰۲۴	۰.۹۱۷	ضریب P طول جغرافیایی	۰.۰۳	۰.۵۴		زمانی یک ساله
-۰.۰۰۰۵	۰.۰۰۴	ضریب P ارتفاع				
۰.۰۵۵۳	۰.۰۱۱	ضریب P عرض جغرافیایی				دمای میانگین حداکثر سالانه با
۰.۰۰۹۱	۰.۵۴۲	ضریب P طول جغرافیایی	۰.۰۰۳	۰.۷۰		تاخیر زمانی یک ساله
-۰.۰۰۰۴	۰.۰۰۲	ضریب P ارتفاع				
۰.۰۸۶	۰.۰۰۰۴	ضریب P عرض جغرافیایی				دمای میانگین حداکثر زمستانه با
۰.۰۴۶۱	۰.۰۰۵۹	ضریب P طول جغرافیایی	۰.۰۰۰۵	۰.۷۹		تاخیر زمانی یک ساله
-۰.۰۰۰۳	۰.۰۰۵۳	ضریب P ارتفاع				
۰.۰۴۱۴	۰.۰۰۰۵	ضریب P عرض جغرافیایی				دمای میانگین حداکثر زمستانه با
۰.۰۱۳۴	۰.۰۷۷۲	ضریب P طول جغرافیایی	۰.۰۰۰۸	۰.۷۷		تاخیر زمانی صفر
-۰.۰۰۰۲	۰.۰۰۴۱	ضریب P ارتفاع				
۰.۰۴۱۴	۰.۰۹۰	ضریب P عرض جغرافیایی				دمای میانگین حداقل زمستانه با
۰.۰۶۱۵	۰.۰۰۵	ضریب P طول جغرافیایی	۰.۰۳	۰.۵۴		تاخیر زمانی یک ساله
-۰.۰۰۰۳	۰.۸۰۲	ضریب P ارتفاع				
-۰.۰۳۹۰	۰.۰۰۹	ضریب P عرض جغرافیایی				دمای میانگین حداقل زمستانه با
۰.۰۰۰۵	۰.۹۵۹	ضریب P طول جغرافیایی	۰.۰۲۶	۰.۵۵		تاخیر زمانی صفر
۰.۰۰۰۱	۰.۰۹۷	ضریب P ارتفاع				

ایستگاه‌های مورد مطالعه اثر کاهشی دما بعد از فوران آتشفسانی‌های عمده مشاهده شده است. به طور میانگین در سال اول بعد از فوران آتشفسانی‌های عمده کاهش ۱- درجه سلسیوسی دما، در سال وقوع آتشفسانها میزان کاهش ۰.۶۷- درجه سلسیوس و در تاخیر زمانی دو ساله میانگین کاهش دما ۰.۴۷- درجه سلسیوس مشاهده شد. از این رو می‌توان تایید کرد که

نتیجه‌گیری

بر اساس سوالات مطرح در این پژوهش ابتدا باید پاسخ این سوال را داد که آیا فوران‌های آتشفسانی بر دمای ایران تاثیر گذار بوده اند؟ بررسی‌ها نشان داد که بعد از فوران‌های آتشفسانی عمده، می‌توان اثرات کاهشی دما را با تاخیر زمانی صفر، یک و دو ساله مشاهده کرد؛ به گونه‌ای که تقریباً در تمامی

مختلف فقط در شش حالت مدل معنادار شد که سه مورد مربوط به دمای میانگین حداکثر است که نشان می دهد دمای حداکثر بیشتر از دمای میانگین و دمای میانگین حداقل از فورانهای آتشفسانی تاثیر کاهشی پذیرفته است. می توان گفت که اثر پذیری دمای حداکثر از فورانهای آتشفسانی بیشتر از دمای حداقل است.

بررسی مقادیر دمای میانگین تابستانه تفاوت اساسی با حالت زمستانه و حتی سالانه نشان می دهد. خروجی مدل SEA در حالت تابستانه مقادیر معنادار کاهش دما فقط در یک مورد دیده شد و حتی ایستگاه اهواز در تاخیر زمانی صفر و یک ساله مقدار مثبت ثبت کرد که نشان می دهد در طی تابستان شدت اثر گذاری فورانهای آتشفسانی نسبت به زمستان به شدت کاهش یافته است. تفاوت دیگر را در فراوانی ها باید جست و جو کرد به گونه ای که در طی زمستان از تاخیر زمانی سه ساله تا پنج ساله مقادیر متوسط دما مثبت شده اند اما در شرایط تابستانه در تمامی تاخیرهای زمانی صفر تا پنج سال بعد از وقوع آتشفسانها مقادیر میانگین دما منفی محاسبه شده است. اجرای مدل رگرسیون فعلی نیز نشان داد که فصل سرد تاثیر کاهشی شدیدتری از فورانهای آتشفسانی می پذیرد؛ به گونه ای که در اجرای مدل رگرسیون خطی چند گانه برای زمستان چهار حالت زیر معنادار شد: دمای میانگین حداکثر زمستان با تاخیر صفر و دمای میانگین حداکثر زمستان با تاخیر یک ساله و همچنین دمای میانگین حداقل با تاخیر صفر و دمای میانگین حداقل با تاخیر زمانی یک ساله؛ ولی در طی تابستان هیچ کدام از ۱۸ مدل اجرا شده معنادار نبود. در واقع می توان گفت با وجود شدت اثر گذاری فعالیت های آتشفسانی در تابستان نسبت به زمستان کمتر است ولی این تاثیرات را تا پنج سال بعد از وقوع نیز می توان مشاهده کرد در حالی که در زمستان بعد از سال دوم وقوع دیگر اثر کاهشی قابل مشاهده نیست.

فوران آتشفسانهای عمدۀ بر روی دمای ایران تاثیر گذار بوده و باعث کاهش دما در ایران می شود. در مورد مدت زمان تاثیر گذاری فعالیت های آتشفسانی بر روی دمای ایران باید گفت که حداکثر سه سال تاثیر گذاری آن بر روی دما در ایران دیده می شود زیرا در خروجی مدل SEA فقط در سال وقوع آتشفسان و سال اول و دوم بعد از آتشفسان، اثرات کاهشی مشاهده شده است و در خروجی مدل رگرسیون خطی چند گانه نیز فقط در سال وقوع آتشفسان و سال اول بعد از آتشفسان اثرات کاهشی مشاهده شد. هر چند باید این نکته را اضافه کرد که بیشترین شدت تاثیر گذاری آتشفسانها به سال اول بعد از وقوع بر می گردد. در این سال اثرات کاهشی آنقدر زیاد شده که میزان کاهش در مدل ها معنادار شده است.

مقایسه سه متغیر دمایی متوسط دما، میانگین حداقل و حداکثر دما نشان داد که شدت کاهش دما در میانگین حداقل کمتر از دو متغیر دیگر بوده است زیرا مقادیر معنادار کاهشی دما در این متغیر بسیار کم شده است. تفاوت بارز متغیر میانگین حداقل با دو متغیر دیگر در این است که تقریباً در تمامی پنج سال پس از وقوع آتشفسان در اکثر ایستگاه ها می توان اثر کاهشی را در میانگین حداقل مشاهده کرد در حالی که در دو متغیر دیگر پس از سال دوم وقوع آتشفسان اثر کاهشی بسیار کم رنگ می شود. می توان اینگونه نتیجه گرفت که در دمای میانگین حداقل شدت کاهش دما در اثر فورانهای آتشفسانی کمتر بوده اما مدت زمان تاثیر پذیری آن بیشتر بوده است.

مقایسه پارامترهای حداقل و حداکثر دما نشان داد که دمای حداکثر تاثیر پذیری بیشتری از فعالیت های آتشفسانی پذیرفته است به گونه ای که تعداد ایستگاه های با کاهش معنادار دما در دمای میانگین حداکثر افزایش و در دمای میانگین حداقل نیز کاهش می یابد. بیشترین مقادیر کاهشی دما نیز در دمای میانگین حداکثر و در تاخیر زمانی یک ساله ثبت شده است. از ۵۴ مدل رگرسیونی اجرا شده برای حالت های

- eruptions reduce landfalling tropical cyclone activity: Evidence from tree rings. *Science of The Total Environment*, 775, 145-899.
11. Bradley, M.M., and Hughes, M.K. (1998). Global-scale temperature patterns and climate forcing over the past six centuries. *Nature*, 392, 779- 787.
 12. Bradley, R.S., and Jones, P.D. (1992). *Records of explosive volcanic eruptions over the last 500 years*. In: Climate Since, AD 1500. Routledge, London, pp. 606-622.
 13. Chaochao, G.A.O., Yujuan, G.A.O., Zhang, Q. and Chunming, S.H.I. (2017). Climatic Aftermath of the 1815 Tambora Eruption in China. *J. Meteor. Res.* 31(1), 28–38.
 14. Cole-Dai, J. (2010). Volcanoes and climate. *Wiley Interdisciplinary Reviews. Climate Change*, 1(6), 824–839.
 15. Colose, C.M., LeGrande, A.N., and Vuille, M. (2015). The influence of tropical volcanic eruptions on the climate of South America during the last millennium. *Climate of the Past*, 11, 3375–3424.
 16. Crowley, T.J., and Kim, K.Y. (1999). Modeling the temperature response to forced climate change over the last six centuries. *Geophys. Res. Lett.*, 26, 1901–1904.
 17. Crowley, T.J. (2000). Causes of climate change over the past 1000 years. *Science*, 289, 270–277.
 18. Esper, J., Schneider, L., Krusic, P.J., Luterbacher, J., Büntgen, U., and Timonen, M. (2013). European summer temperature response to annually dated volcanic eruptions over the past nine centuries. *Bulletin of Volcanology*, 75(7), 736.
 19. Esper, Jan, Lea Schneider, Paul J. Krusic, Jürg Luterbacher, Ulf Büntgen, Mauri Timonen, Frank Sirocko, Eduardo Zorita, (2013). European summer temperature response to annually dated volcanic eruptions over the past nine centuries, *Bull Volcanol.* 75: 736, 2-14, DOI: 10.1007/s00445-013-0736-z.
 20. Fischer, E.M., Luterbacher, J., Zorita, E., Tett, S.F.B., Casty, C. and Wanner, H. (2007). *European climate response to*

منابع

۱. صمدیان فرد، سعید. اسدی، اسماعیل. ۱۳۹۶. پیش‌بینی نمایه خشکسالی SPI به روش‌های رگرسیون بردار پشتیبان و خطی چندگانه. *نشریه حفاظت منابع آب و خاک*, سال ششم، شماره چهارم، ۱-۱۶.
۲. مظفری، غلامعلی. میرموسوی، سید حسین. خسروی، یونس. ۱۳۹۱. ارزیابی روش‌های زمین آمار و رگرسیون خطی در تعیین توزیع مکانی بارش. *جغرافیا و توسعه*, شماره ۲۷، ۶۳-۷۶.
۳. کلانتری، خلیل. ۱۳۸۹. پردازش و تحلیل داده‌ها در تحقیقات اجتماعی-اقتصادی با استفاده از نرم افزار SPSS نشر شریف، ۳۸۸.
۴. زراعتی نیشابوری، سپیده. پورضا بیلنده، محسن. خاشعی سیوکی، عباس. شهیدی، علی. ۱۳۹۹. مقایسه مدل رگرسیون فازی امکانی و رگرسیون کمترین مربعات فازی در پیش‌بینی تراز سطح ایستابی آبخوان دشت نیشابور. *علوم و مهندسی آبیاری*, جلد ۴۳، ۱۴۳-۱۳۱.
۵. جعفری، مجید. دین پژوه، یعقوب. ۱۳۹۶. ارزیابی کاربرد رگرسیون چند متغیره تعیین‌گر در برآورد تبخیر از تشت، علوم و مهندسی آبیاری. جلد ۴۰، شماره ۱، ۹۷-۸۳.
۶. عزیزی، قاسم. ۱۳۸۳. *تغییر اقلیم*. تهران. انتشارات قومس. چاپ اول.
۷. شیخ فخرالدینی، سارا. عباس نژاد، احمد. شیخ فخرالدینی، مهدی. ذهاب ناظوری، سمیه. شاهی، علی. ۱۳۹۱. بررسی تاثیر آتشفسان بر شرایط آب و هوایی یک منطقه: مطالعه موردی آتشفسان بیدخوان. *ششمین همایش ملی زمین شناسی دانشگاه پیام نور*.
8. Alfaro-Sánchez, R., Camarero, J.J., Querejeta, J.I., Sagra, J., Moya, D., and Rodríguez-Trejo, D.A. (2020). Volcanic activity signals in tree-rings at the treeline of the Popocatépetl, Mexico. *Dendrochronologia*, 59, 125663.
9. Alfaro-Sánchez, R., Nguyen, H., Klesse, S., Hudson, A., Belmecheri, S., Köse, N., and Trouet, V. (2018). Climatic and volcanic forcing of tropical belt northern boundary over the past 800 years. *Nature Geoscience*, 11(12), 933–938.
10. Altman, J., Saurer, M., Dolezal, J., Marekova, N., Song, J.S., Ho, C.H., and Treydte, K. 92021). Large volcanic

29. Jessica, P., and Stefan, G. 2020. Potential impacts of major nineteenth century volcanic eruptions on temperature over Cape Town, South Africa: 1834–1899. *Climatic Change*, <https://doi.org/10.1007/s10584-020-02678-6>.
30. lobal Volcanism Program. 2013. Volcanoes of the world, v. 4.7.4. Venzke, E (ed.). Smithsonian Institution. Downloaded 30 October 2018. <https://doi.org/10.5479/si.GVP.VOTW4-2013>.
31. Lockwood, J.P., and Hazlett, R.W. (2010). Volcanoes – Global Perspectives. Wiley-Blackwell, West Sussex.
32. Lough, J.M., and Fritts, H.C. 1987. An assessment of the possible effects of volcanic eruptions on North American climate using tree-ring data, 1602 to 1900 A.D. *Climatic Change*, 10, 219–239.
33. Madden-Nadeau, A.L., Cassidy, M., Pyle, D.M., Mather, T.A., Watt, S.F.L., Engwell, S.L., Abdurrahman, M., Nurshal, M.E.M., Tappin, D.R., and Ismail, T. (2021). The magmatic and eruptive evolution of the 1883 caldera-forming eruption of Krakatau: Integrating field- to crystal-scale observations. *Journal of Volcanology and Geothermal Research*, 411, 107176.
34. Man, W., Zhou, T., and Jungclaus, J.H. (2014). Effects of Large Volcanic Eruptions on Global Summer Climate and East Asian Monsoon Changes during the Last Millennium: Analysis of MPI-ESM Simulations. *Journal of Climate*, 27(19), 7394–7409.
35. Meronen, HHenriksson, S.V., Raisanen, P.R., and Laaksonen, A. (2012). Climate effects of northern hemisphere volcanic eruptions in an Earth System Model. *Atmospheric Research*, 114–115, 107–118.
36. Newhall, C.G., and Self, S. (1982). The Volcanic Explosivity Index (VEI): an estimate of explosive magnitude for historical volcanism. *J Geophys Res*, 87, 1231–1238.
37. Newhall, C.G., and Self, S. (1982). The Volcanic Explosivity Index (VEI): an estimate of explosive magnitude for tropical volcanic eruptions over the last half millennium. *Geophysical Research Letters*, 34(5) Washington, D.C. American Geophysical Union, 10.1029/2006GL027992
21. Fischer, E.M., Luterbacher, J., Zorita, E., Tett, S.F.B., Casty, C., and Wanner, H. (2007). European climate response to tropical volcanic eruptions over the last half millennium, *Journal of Geophysical Research LETTERS*, 34, 1-6, L05707.
22. Gagné, M.-E., Kirchmeier-Young, M.C., Gillett, N.P., and Fyfe, J.C. (2017). Arctic sea ice response to the eruptions of Agung, El Chichón, and Pinatubo. *Journal of Geophysical Research: Atmospheres*, 122, 8071–8078.
23. Gil, Guirado, S., Olcina, Cantos, J., and Pérez, Morales, A. (2020). The blessing of the “year without summer”: Climatic and socioeconomic impact of the Krakatoa eruption (1883) in the south-east of the Iberian Peninsula. *International Journal of Climatology*, 41(4): (2279-2300).
24. Hansen, J.E., Wang, W-C., and Lacis, A.A. (1978). Mount Agung eruption provides a test of a global climatic perturbation. *Science*, 199, 1065–1068.
25. Hegerl, G., Luterbacher, J., González-Rouco, F., Tett SFB, Crowley, T.J., Xoplaki, E (2011). Influence of human and natural forcing on European seasonal temperatures. *Nat Geosci* 4:99–103
26. Hegerl, G., Luterbacher, J., González-Rouco, F., Tett, S.F.B., Crowley, T.J., and Xoplaki, E. (2011). Influence of human and natural forcing on European seasonal temperatures. *Nat Geosci*, 4, 99–103
27. Hegerl, G.C., Crowley, T.S., Baum, S.K., Kim, K-Y., and Hyde, W.T. (2003). Detection of volcanic, solar and greenhouse gas signals in pale reconstructions of Northern Hemispheric temperature. *Geophys Res Lett* 30. DOI:10.1029/2002GL016635.
28. Iles, C.E., and Hegerl, G.C. 2014. The global precipitation response to volcanic eruptions in the CMIP5 models. *Environ. Res. Lett.*, 9(10), 104012.

- emissions of the 1963 eruption of Gunung Agung, Bali, Indonesia. *Bull Volcanol*, 58, 263–285.
47. Self, S., and Rampino, M.R. 2012. The 1963–1964 eruption of Agung volcano (Bali, Indonesia). *Bull Volcanol*, 74, 1521–1536
48. Shindell, D. T., Schmidt, G. A., Mann, M.E., and Faluvegi, G. 2004. Dynamic winter climate response to large tropical volcanic eruptions since 1600. *Journal of Geophysical Research*, VOL. 109, D05104,
49. Sigl, M., Winstrup, M., McConnell, J.R., Welten, K.C., Plunkett, G., Ludlow, F., and Woodruff, T.E. 2015. Timing and climate forcing of volcanic eruptions for the past 2,500 years. *Nature*, 523(7562), 543–549.
50. Sjolte, J., Adolphi, F., Guðlaugsdóttir, H., and Muscheler, R. 2021. Major Differences in Regional Climate Impact Between High and Low-Latitude Volcanic Eruptions. *Geophysical Research Letters*, 48, 8.
51. Sutherland, E.K., Brewer, P.W., Falk, D.A. and Velasquez, M.E., 2015. Fire History Analysis and Exploration System (FHAES) user manual. [compiled on 01/03/2018]. <http://www.fhaes.org>. pp68.
52. Tao, H., Qiu, Z., Lu, B., Liu, Y., and Qiu, J. 2020. Volcanic activities triggered the first global cooling event in the Phanerozoic. *Journal of Asian Earth Sciences*, 194, 104074.
53. Wahl, Eugene R., Henry F. Diaz, Smerdon, J.E., and Ammann, C.M. 2014. Late winter temperature response to large tropical volcanic eruptions in temperate western North America: Relationship to ENSO phases. *Global and Planetary Change*, 122, 238–250.
- historical volcanism. *J Geophys Res*, 87, 1231–1238.
38. Niemeier, U., and Timmreck, C. (2015). What is the limit of climate engineering by stratospheric injection of SO₂? *Atmos Chem Phys*, 15(16), 9129–9141.
39. Oman, L., Robock, A., Stenchikov, G., Schmidt, G.A., and Ruedy, R. (2005). Climatic response to high-latitude volcanic eruptions. *J Geophys Res*, 110:D13103.
40. Rao, M.P., Cook, B.I., Cook, E.R., D'Arrigo, R.D., Krusic, P.J., Anchukaitis, K.J., LeGrande, A.N., Buckley, B.M., Davi, N.K., Leland, C., Griffin, K.L. (2017). European and Mediterranean hydroclimate responses to tropical volcanic forcing over the last millennium 44 (10):5104 *Geophysical Research Letters*.
41. Robock, A. (2000). Volcanic eruptions and climate. *Reviews of Geophysics*, 38(2), 191–219.
42. Robock, A. (2015). Climatic impacts of volcanic eruptions, Chapter 53 in *Encyclopedia of Volcanoes*, Second Edition, Haraldur Sigurdsson (editor-in-chief), Bruce Houghton, Stephen R. McNutt, Hazel Rymer and John Styx (editors) (Elsevier, Amsterdam), 935–942.
43. Robock, A. (1981). A latitudinally dependent volcanic dust veil index, and its effect on climate simulations. *J. Volcanol. Geotherm. Res.*, 11, 67–80.
44. Robock, A., and Mao, J. (1995). The volcanic signal in surface temperature observations. *J Clim.* 8, 1086–1103
45. Robock, A., and Mao, J. (1995). The Volcanic Signal in Surface Temperature Observations. *Journal of Climate*, 8(5), 1086–1103.
46. Self, S., and King, A.J. (1996). Petrology and sulfur and chlorine